

石灰処理土の破壊に関する走査電子顕微鏡的研究

京都大学工学部 正員 工博 松尾新一郎
京都大学工学部 正員。工博 宋 永焜

I まえがき 近時電子顕微鏡を用いた破壊のメカニズムに関する研究が金属やその他の分野においてはなばなしの発展をとげているにもかかわらず、土質工学の分野においては、ほとんどこの種の研究がみられまい。この理由は土特有の複雑な性状にもよるものであるが、また旧態依然とした手法に固執した考え方にもよるものと思われる。土質工学の分野において單一分散粒子の形状せん断、圧密、および緯図め後方の断面構造を電顕で研究したものも現時点ではまだ少くないが、破壊のプロセスそのものを研究したものにはまだない。土壤学の分野においては、光学顕微鏡による Brewer¹⁾の観察結果と走査電顕によるものを結びつけようとした研究も2~3あるが自然土の破壊断面を観察したもののは Eswaran²⁾の研究があるだけである。本研究は石灰処理土の破壊プロセスの研究の一環として、先ず一軸圧縮破壊と間接引張破壊の破壊プロセスを巨視的および微視的な立場から研究したものである。板状粘土では特にその配向性、砂質土では破壊断面上の1次粒子の変化に着目している。なお、近時土の引張破壊の重要性が弾性係数を異にする多層路盤の境界領域の応力状態などを認識し始めた。本研究はこの重要性からも、また圧縮破壊との比較の上からも重要なと思われるので間接引張試験を同時に実行した。

II 圧縮と引張試験による応力-ひずみ曲線
一軸圧縮試験による応力-ひずみ曲線(図-1)と引張強度試験による応力-ひずみ曲線(図-2)を比較すると前者の最大強度は常に後者の数倍によぶが、両者とも石灰処理による長期養生の効果が歴然としている。すなわち、両者とも1ヶ月以上の養生でも強度は増大しつつあり、石灰処理における化学反応作

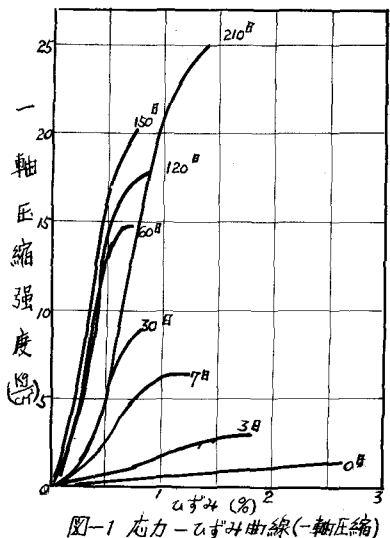


図-1 応力-ひずみ曲線(-軸圧縮)

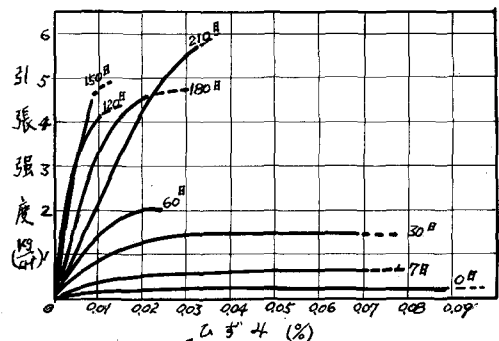


図-2 応力-ひずみ曲線(Indirect Tension)

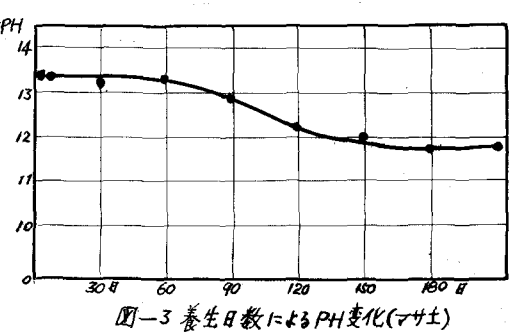


図-3 養生日数によるPH変化(マット)

用を直視できないことがわかる。一般に化学反応作用は溶液状にした土のPH値の相対的变化で判断されるが、この状況を示したのが図-3である。この図から養生60日における屈折点は弱く引張強度の場合と良く対応していることがわかる。練粘土鉱物のPH値は養生10~20日位でその屈折点が表われれるが、砂質土では1次鉱物のアルカリによる難溶性など的原因を考えられるので比較的長期間かかる。これから引張強度は石灰による物理的接着よりも化学反応作用による生成物の接着が重要な役割を持つことがわかる。

III 石灰処理カオリン締固め土の破壊断面 写真-1~写真-5は各養生供試体の一軸圧縮破壊断面であり、写真-6~写真-9は同様引張破壊による各断面を走査電子顕微鏡で観察したものである。写真-1~2は石灰処理によるカオリン粒子の凝集構造がみられ、養生による粘結効果が進むにつれ、破壊断面上にせん断領域(Shear band)が形成される。このせん断領域は固結が進むにつれ、広い領域から狭い領域へ縮小されることが写真-3~4から知られる。この状態を模式的に示したのが図-4である。写真-5は写真-4のせん断領域を拡大したものであるが写真-1~2に比してカオリン粒子の辺縁の著しい侵食崩壊がみられる同時にせん断面に平行な 001 面の配列がみられる。一軸圧縮破壊面上の直接せん断領域が粒子の 001 面の平行配向によって構成されるに比し

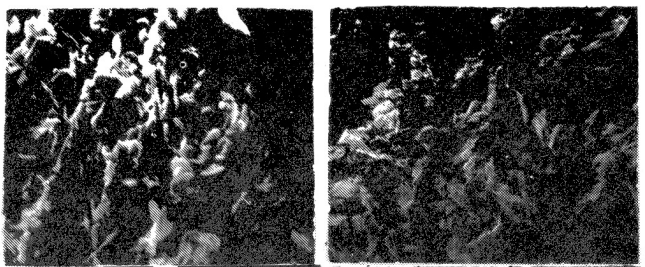


写真-1 石灰処理(10%カルシン)1日養生後
一軸圧縮破壊断面

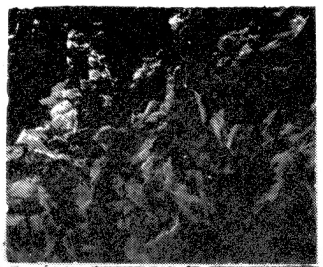


写真-2 1日養生



写真-3 2ヶ月

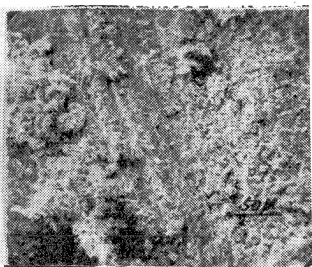


写真-4 6ヶ月

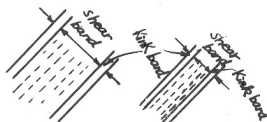


図-4 養生効果によるshear bandの縮小

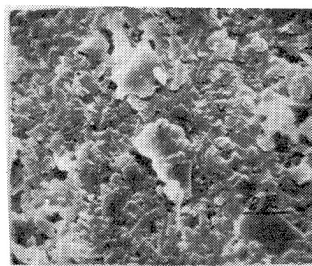


写真-5 写真-4中のshear bandの拡大図

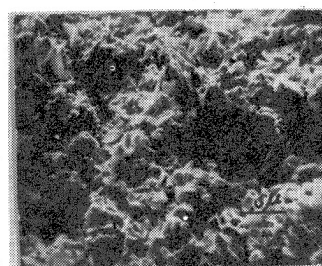


写真-6 石灰処理カオリン1日養生後の一軸圧縮破壊断面

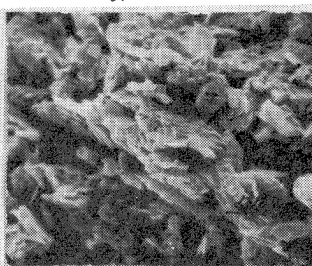


写真-7 2ヶ月

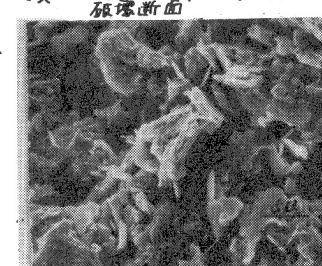


写真-8 4ヶ月



写真-9 6ヶ月

て、間接引張破壊断面は粒子の板面断裂による破壊であることが写真-8～9に明瞭にみられる。この板面断裂は粒子板面の侵食が進むほど激しくすることは写真-6と写真-9を対比すれば明らかである。また、図-1と図-2に示すように一軸圧縮強度が常に引張強度の数倍に及ぶことは、このような粒子の破壊様式によるものと思われる。すなわち、一軸圧縮破壊は常に板状面の平行配向による破壊であり、間接引張破壊は板面の断裂による延縫破壊である。写真-9では断裂後の粒子の辺縁がみられるが、これは石灰侵食

による辺縁の崩潰に比して明瞭な線形をもつているのが特徴である。

IV 石灰処理マサ土の破壊断面上における1次粒子

マサ土のような砂質土は、主として板状粒子から粘性土に比してその粒子の配向性はあまり問題にならない。破壊は一般に *path of weakness* を通じて進行するが、この破壊経路が粒子間を通過するか、または粒子それ自体を貫通して破壊するかは注目すべき問題である。破碎性の激しいマサ土については、この問題は一層重要である。

したがつて写真-10～13に示される結論から述べると破壊時の *path of weakness* は一般に長石粒子を貫通し、石英粒子間に通過することがある。その他に雲母粒子をも貫通する。写真-10は長石が *path of weakness*

によつて貫通された断面を示し、写真-13は石英粒子表面のせん断条痕である。粘土と石灰のアラスターにちあられた石英粒子の表面には常にこの種のせん断条痕がみられる。写真-12は破壊時の粒子の引き抜きによる間げきがみられ、この引き抜かれた粒子は石英粒子であることは、その風化度から容易に推測すことができ。



写真-10 破壊断面上の長石粒子

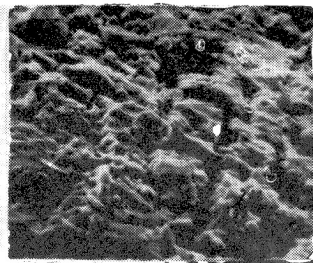


写真-11 長石粒子

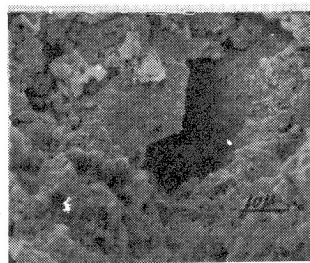


写真-12



写真-13 石英粒子

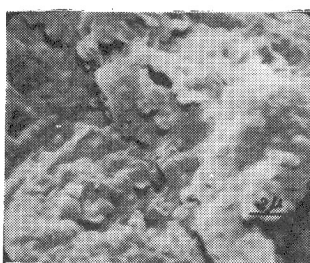


写真-14 石灰処理マサ土のマトリクス
変化 1日養生



写真-15 2ヶ月

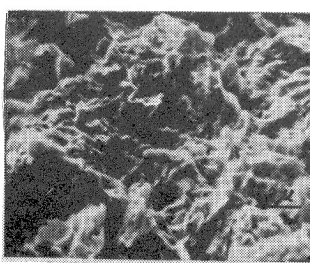


写真-16 6ヶ月

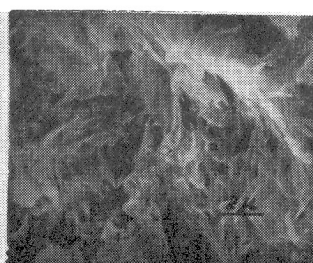


写真-17 2年

V 石灰処理ベントナイトの養生によるマトリックスの変化 写真-14～17は石灰処理ベントナイトの2年養生によるマトリックスの変化を示す。モンモリロナイトは粒子が非常に小さく、走査電顕の分解能以下になることが多い、その場合の像は一般に写真-14のようを星雲状のようになるのが普通である。これは、またNaモンモリロナイトの特徴でもある。写真-15はモンモリロナイトの辺縁が多くみられる方の像であるが養生の進むにつれて写真-16～17のように各マトリックスの均一化、融合溶解が進んで行くことがわかる。

写真-20 3ヶ月 写真-21 6ヶ月
写真-18～21は石灰処理マサ土のマトリックスの変化 14日養生

写真-18～21は石灰処理マサ土の6ヶ月養生によるマトリックスの変化を示したものである。写真-18には、主として石灰がみられ、中央にマサ土粒子がみられる。養生3ヶ月になると写真-20に示すようにマトリックス中に針状の生成結晶が多数みられる。この針状結晶が成長し、粘土粒子と石灰からなるマトリックス中に埋没して行く状態が写真-21にみられる。写真-21の左右には完全に融合均一化したマトリックスがみられ、徐々に中间の方へ進行して行くことがある。

VI 結論 本研究で得た主要な結論を述べると次のようになる。

- 1) 一軸圧縮破壊は板面に沿う破壊であるが引張破壊は板面断裂破壊である。
- 2) 一般に一軸圧縮破壊における直接せん断領域は養生の進むにつれて狭くなり傾向がある。
- 3) 砂質土の一軸圧縮破壊は長石粒子、雲母粒子を貫通する破壊であり、また石英粒子の間を通りて破壊する。これは1次粒子の風化度や破碎性に起因するものである。
- 4) ベントナイト、マサ土の石灰処理マトリックスの最終状態は均一融合したマトリックスであるがともに反応生成物はみられない。

- 参考文献 ① Brewer, H.: *Fabric and Mineral Analysis of Soils*, John Wiley & Son, New York, 1964
 ② Eswaran, H.: *Electron Scanning Studies of the Fabric of Fracture Surfaces*, Soil Sci. Soc. Amer. Proc. 35, 289～290, 1971
 ③ 松尾新一郎、宋永慶: X線および電子顕微鏡による石灰処理土の構造的研究, 土木学会論文報告集第193号, 1971, 59～68